

Figure 6: 未来ににの過去にも三体衝突にいたる軌道の初期点. 記号列の長さは 7.

り 2 つの距離は同時にゼロになる. 図 2 には, ある記号列から別の記号列への遷移の様子を図示した. 軌道  $C$  と  $D$  の間には三体衝突する軌道が存在するはずである. この軌道グループは同じ  $\theta = 30^\circ$  を持ち,  $R$  が 0.0125 ずつ違うものである. (軌道図の縦軸の値は上下 3 つの図で正しくない. 値がずれている.)

こうして, 記号列を使うことにより, 三体衝突軌道を実際に計算せずに, 簡単に図示することができる. (その上, 正則座標  $Q_1$  と  $Q_2$  は衝突点で符号を変えるので,  $q_1$  と  $q_2$  のゼロは捕まえやすい.) 図 3 と図 4 にこのような曲線をいくつか示しておいた. 図 3 の一番上のパネルには 2 回目の衝突がすでに三体衝突になった初期値を定義する曲線を描いている. この図の 2, 3 番目のパネル, さらには図 4 のパネルと進むと, 長い記号列および対応する三体衝突線が見える. またそれぞれの領域に対応する記号列も図に書き込んでおいた. ただし, 最後の 2 つのパネルでは線が多くて記号列を書ききれなかった

図 5 には一般的な状況をもっと広範囲に示した. 長さ 10, 11, および 12 の記号列を描いた. 短い記号列はこれらの間にいるが省略した. また, もっと長い記号列から得られる曲線も省略した. これらの数は多く, 図が混みすぎてしまう. 三体衝突曲線に加えて, Schubart 領域を示し, さらに横断面 ( $q_1 = q_2$ ) を使って

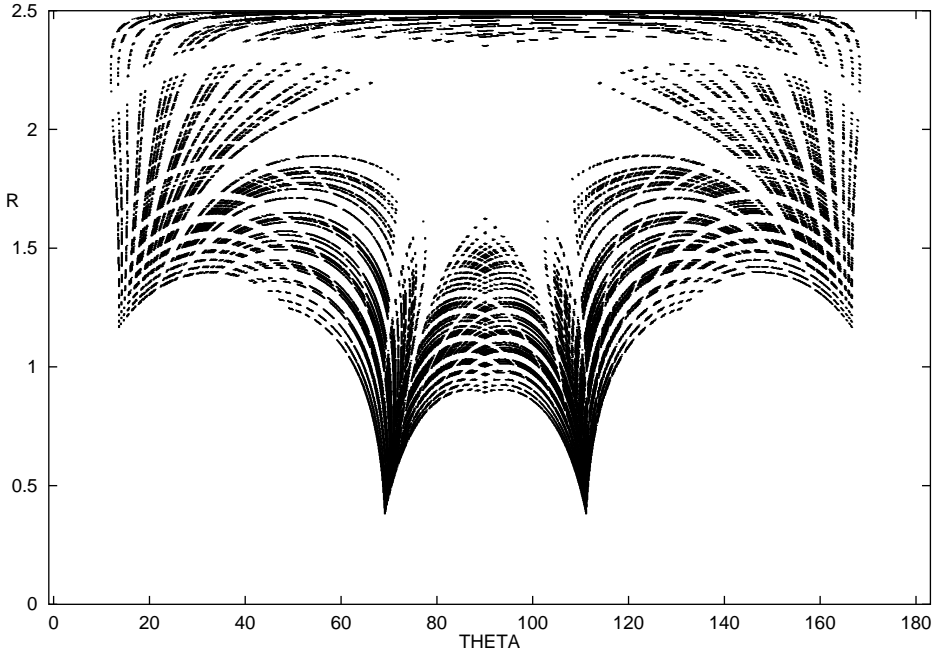


Figure 7: 長さ 12 の記号列からすでに大量の有限軌道が得られる

写像を計算して散らばった点を描いた。散らばった点を得るために使った軌道(200個)は、どれも Schubart 領域のすぐ外を初期値とする。Schubart 領域のかどから出ている「曲線」は軌道点が集中しているところであって、三体衝突曲線の間の空隙を走る。しかし、横断面上の点は  $\theta$  方向に  $180^\circ$  だけずらして描いたことを注意しておく。(軌道を計算して得た横断面上の点は類似の領域、(カオス、正則、Schubart)，を現出させる。しかし、本質的な違いがある。われわれの図は「初期値の関数としての未来の」系のふるまいを記述する。一方、横断面の点は、「計算された軌道の歴史」を語る。したがって、点の方は、時間の方向を逆転したときに得られる最終運動に対応する模様を示す。(4), (5)式からわかるように、これは  $\theta$  を  $180^\circ$  だけずらすこと、あるいは等質量の場合の対称性より、 $\theta = 90^\circ$  に関して反転させることを意味する。このずらしを行なわないと、5図のような一般的構造を見ることはできない。ずらさないと、カオス軌道が正則(エスケープ)領域に入り込んでしまう。) どんどん長い記号列を考察すると、対応する三体衝突曲線はどんどん増えて、図5の散乱点領域を埋めていく。Schubart 領域の近くでは、軌道は準周期軌道のようにふるまい、多数回の二体衝突の間、準周期軌道との類似性を保つ。一方、正則領域の直上の、点のみしかない空隙領域は(非常に)長い放出による。粒子1はほとんどエスケープ

し, その間残りの連星は, 粒子 1 が帰って来るまでに(任意に)大きな回数だけ衝突を繰り返す. この理由で, エスケープ領域との境界では三体衝突曲線が無限に詰まっていることが明らかである. ただし, これを確認するには, 非常に長い記号列を計算する必要がある.

## 4 有限軌道

未来も過去も三体衝突に終る軌道が存在する.  $\theta$  を  $180^\circ - \theta$  に置き変えて粒子を入れ替えると未来と過去が入れ替わるから, 図を  $\theta = 90^\circ$  に関して反転するだけで過去の運動に関する三体衝突曲線を得ることができる. もとの図に反転した図を重ねて曲線の交点を探せば, これは未来と過去に向かって三体衝突を起こす軌道の初期値の場所が得られる. 運動は(同形解を除いて)一般に解析接続できないから, これらの軌道は有限軌道である. 三体衝突軌道が衝突の瞬間を越えて解析接続できない事実については McGehee (1974) が徹底的に議論している.

図 6 には未来と過去の, 長さ 7 まで記号列から得られたのすべての三体衝突曲線を描いた. 交点, すなわち有限軌道の初期値, を三角印で示した.

図 7 は長さ 12 までの記号列から得られるすべての曲線の交点を示す. 有限軌道の数が記号列の長さとともに急速に増えることが見てとれる.

## 5 三体衝突軌道の密度

今までの結果から持ち上る問題は, 相空間における三体衝突軌道の密度の問題である. 図 3, 4, および 5 からすると, 記号列の長さが増えると, 三体衝突曲線の数はどんどん増える. 図 5 の段階で空白の領域(点のみ)もいはずれは埋まり, しまいには, Schubart 領域の境界や正則領域の境界の任意に近くまで曲線が押し寄せるように見える. これらの曲線の数が無限なら(三体系が壊れるまでに任意に長い回数の三体相互作用を行なう軌道があれば可能である), これらの曲線が稠密になるところでは集積曲線があるはずである. 厳密な証明はないが, これが成り立つのである.

一方, (発見的には)明らかなことであるが, 曲線は他の場所では稠密でない(集積曲線のところでのみ稠密). このことは, 数値積分して図 8 に示した「カオス」軌道を考察すれば結論できそうである. 三体相互作用は有限時間しか継続せず, 最終運動は時間の両方向とも楕円-双曲的である. すなわち, 単独星と連星がほぼ双曲的な相対軌道で離れて行く. この軌道は三体衝突を含まないから,もちろん, 三体衝突に無限に近くはない. だから,  $t = 0$  における初期条件を十分小さく任意に変えても, 軌道の変化は描画精度に収まってしまう. こうして初期値のまわりに開近傍が得られて, そこを出発する軌道には三体衝突軌

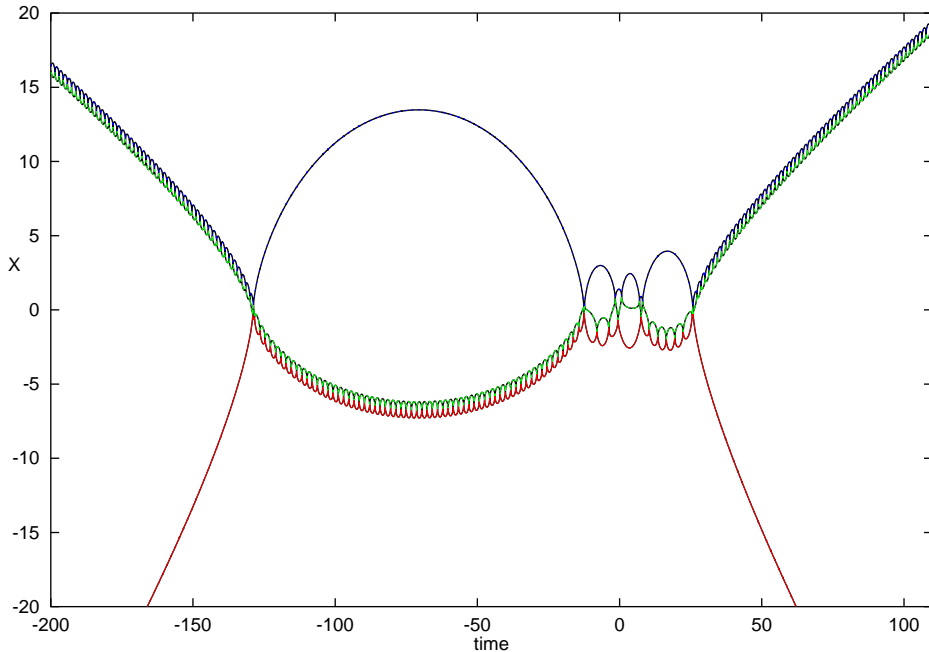


Figure 8: 「カオス」軌道.

道が含まれない。だから、三体衝突軌道は測度ゼロの集合においてのみ稠密である、といえる。同様に、有限軌道の「塵」(dust, 図 7) は測度ゼロの集合を除いていたるところ疎であると予想する。

## 6 結論

以下のことに関して数値的証拠を得た:

Schubart 領域、三体衝突曲線、および正則領域によって相空間全体の構造が明確になった(図 5)。

カオス領域の三体衝突曲線の数は無限(少なくともエスケープ領域の境界の近くでは放出粒子はほぼエスケープであり、この粒子が戻ってくるまでの任意回数の二体衝突があり得る)であるが、稠密ではない。有限軌道に関しても類似の定性的主張ができる(図 7)。

ここでの結果により、カオス領域での初期条件に関する敏感な依存性を確認した。これは、衝突を越えて正則化できず、解析接続のできない三体衝突軌道(McGehee 1974)の存在による。その上、Schubart 領域 – 安定準周期運動の

## References

- [1] Bulirsch, R. and Stoer, J.: (1966), *Numerical Treatment of Differential Equations by Extrapolation Methods*. Num. Math., **8**, 1–13.
- [2] R. McGehee, R.: (1974) *Triple collision in the collinear three-body problem*, Inventiones mathematicae **27**, 191–227.
- [3] Mikkola, S. and Hietarinta, J.: (1989) *A Numerical Investigation of the One-Dimensional Newtonian Three-Body Problem* Celestial Mechanics and Dynamical Astronomy **46**, 1–18.
- [4] Mikkola, S. and Hietarinta, J.: (1990) *A Numerical Investigation of the One-Dimensional Newtonian Three-Body Problem. II Positive energies*. Celestial Mechanics and Dynamical Astronomy **47**, 321–331.
- [5] Mikkola, S. and Hietarinta, J.: (1991) *A Numerical Investigation of the One-Dimensional Newtonian Three-Body Problem. III. Mass Dependence in the Stability of Motion*, Celestial Mechanics and Dynamical Astronomy, **51**, 379–394.
- [6] Hietarinta, J. and Mikkola, S.: (1993) *Chaos in the one-dimensional Newtonian three-body problem*. Chaos, **3** (2), 183–203.
- [7] Tanikawa, K., Umehara, H. and Abe, H.: (1995), *A search for collision orbits in the free-fall three-body problem I. Numerical procedure*, Celestial Mechanics and Dynamical Astronomy, **62**, 335–362.
- [8] Tanikawa, K. and Umehara, H.: (1998), *Oscillatory orbits in the planar three-body problem with equal masses*, Celestial Mechanics and Dynamical Astronomy, **70**, 167–180.
- [9] Yoshida, H.: (1987) *A criterion for the non-existence of an additional integral in Hamiltonian systems with a homogeneous potential*, Physica 29D, 128–142.
- [10] Yoshida, H.: (1988) *Non-integrability of the three-body problems with homogenous potential*, in *The Few-Body Problem*, ed. M.J. Valtonen, proceedings of the 96th colloquium of the IAU, Turku, Finland 1987, Kluwer Academic Publishers, 1988.